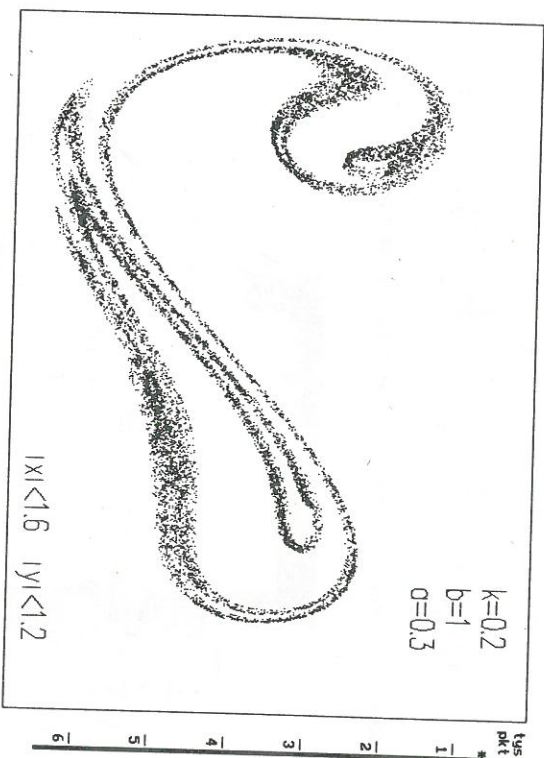


wielokrotnością 2π . Jednakże w pewnych zakresach wartości parametrów k, b, a pojawiają się dziwne atraktory, np. takie jak na rys. 9.3, na którym pokazano 6000 punktów $\{F^n(z_0)\}$ odwzorowania Poincarégo dla numerów $n = 500-6500$ i dla $z_0 = (0, 0)$.



Rys. 9.3. Dziwny atraktor odwzorowania Poincarégo dla równania Duffinga (9.1)

Przy ustalonych wartościach parametrów k, b, a układ dynamiczny (R^2, F) może mieć wiele atraktorów, np. punkt stały, jedną lub kilka okresowych orbit i dziwny atraktor. Wówczas w zależności od punktu początkowego z_0 trajektoria $\{F^n(z_0)\}$ zmierza do różnych atraktorów i zachowanie się rozwiązań równania (9.1) w stanie ustalonym zależy od warunku początkowego. Dla jednych punktów startowych z_0 może być ono okresowe, a dla innych chaotyczne.

PRZYKŁAD 9.2. Rozpatrzmy dość typowy generator elektroniczny opisany układem równań różniczkowych:

$$\begin{aligned} \frac{dx}{d\tau} &= ax - y - (z + 2x)^2 \\ \frac{dy}{d\tau} &= x - ay - (a + b)(z + 2x)^2 \\ \frac{dz}{d\tau} &= -bz + 2(z + 2x)^2 \end{aligned} \quad (9.2)$$

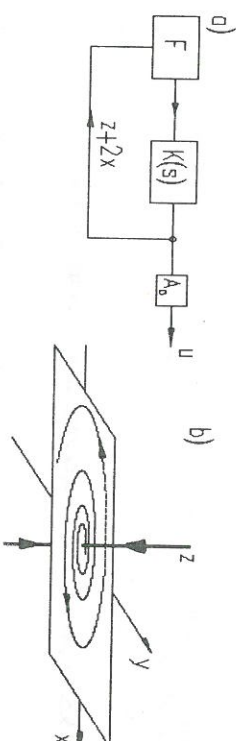
Schemat blokowy takiego generatora przedstawiono na rys. 9.4a. Przyjmujemy, że charakterystyka elementu nieliniowego jest funkcją kwadratową $F(x) = x^2$.

PRZYKŁADY DZIWNYCH ATRAKTORÓW

a transmitancja $K(s)$ liniowej części układu ma trzy bieguny: $-\omega b, \omega(a - \omega(a - i))$ (gdzie $a, b, \omega > 0$) i nie ma punktów zerowych. Transmitancja za więc od czterech parametrów. W zależności od przyjętego układu współrzędnych można opisywać układ rozmaitymi równaniami. We wzorach (9.2) przyjęto układ współrzędnych, aby dla układu zlinearyzowanego w punkcie osobliwym $(0, 0, 0)$ płaszczyzna $z = 0$ była rozmaitością niestabilną, a oś $x = y$: rozmaitością stabilną (rys. 9.4b). Rozwiązania układu zlinearyzowanego w więc postać

$$x(\tau) = e^{a\tau} \cos(\tau), \quad y(\tau) = e^{a\tau} \sin(\tau), \quad z(\tau) = e^{-b\tau} \quad (9.3)$$

Ponadto unormowano skalę na osiach x, y i na osi czasu ($\tau = \omega t$), co pozwoli zredukować liczbę parametrów do dwóch.



Rys. 9.4. a) Blokowy schemat generatora; b) trajektoria układu zlinearyzowanego w otoczeniu początku układu współrzędnych

Sygnał wyjściowy generatora $u(t) = A_0[z(t) + 2x(t)]$, w unormowanej skali czasu ($\tau = \omega t$) i napięcia, spełnia równanie różniczkowe trzeciego rzędu

$$\frac{d^3 u}{d\tau^3} + c_2 \frac{d^2 u}{d\tau^2} + c_1 \frac{du}{d\tau} + c_0 u - u^2 = 0 \quad (9.4)$$

gdzie: $c_2 = b - 2a, c_1 = 1 - 2ab + a^2, c_0 = b(1 + a^2), A_0 = [1 + (a + b)^2]$.

Dynamika układu opisanego równaniami (9.2) zależy od dwóch dodatkowych parametrów a i b . Dla szerokiego zakresu parametrów (np. dla $0,2 < b < 0,8$ i $a < 0,08$) układ równań (9.2) ma stabilne okresowe rozwiązanie, którego zaimplementowaną trajektorią $\{x(\tau), y(\tau), z(\tau)\}$ jeden raz otacza oś z . Oczywiście: kształt trajektorii i długość okresu T zależą od parametrów a i b . Jeśli $b > 0,38$, to przy wzroście parametru a obserwuje się zjawisko kolejnego podwajania długości okresu tak jak w kaskadzie Feigenbauma (trajektoria okresowa otacza wówczas oś z odpowiednio 2, 4, 8, 16, ...-krotnie w ciągu jednego okresu). Przy dalszym wzroście parametru a trajektoria okresowa zamienia się w chaotyczną i powstaje dziwny atraktor, np. taki jak pokazano na rys. 9.5. Jest to rysunek trajektorii „w stanie ustalonym” w perspektywie trójwymiarowej.